

すみ肉溶接による支承取り付け部の耐荷性評価実験(その2 模擬実験)

(一社)日本支承協会 正会員 ○石山 昌幸
 (一社)日本支承協会 正会員 小南 雄一郎
 (一社)日本支承協会 非会員 松本 多美子

(一社)日本支承協会 正会員 姪野 岳彦
 ゴム支承協会 正会員 今井 隆
 熊本大学 正会員 松村 政秀

1. はじめに

道路橋示方書¹⁾では、溶接線に直角な方向に引張力を受ける継手には、完全溶込み開先溶接を用いることを原則とし、部分溶込み開先溶接やすみ肉溶接は用いないこととしている。ただし、引張応力度が小さい場合等で、かつ溶接性や溶接ひずみを考慮したケースでは、部分溶け込み溶接の採用余地にも言及しており、このときは、継手部の耐荷性能、耐久性能を明らかにし、また、溶接品質確保に十分に留意する必要があるとされている。

一方、支承部に代表される「上下部接続部」に着目すると、鋼製橋脚上での支承設置のケースや、支承交換工事においてRC橋脚上にベースプレートを敷き、その上に支承本体を設置するケースなどでは、部分溶込み溶接によって施工している事例が多く見られる。この継手部は、その構造上の特徴から、完全溶込み開先溶接にはできること、またボルト継手を採用する場合には、支承設置時の位置調整(微調整)が困難という課題がある。そのため、今後の支承施工においても、部分溶込み溶接の採用の必要性は高いと考えられるが、このとき継手部には、支承高さに起因した曲げモーメントが伝達されることから、溶接線に直角方向に作用する引張応力度についての評価が必要かつ重要であると考えられる。しかしながら、支承部において特徴的な「肉厚な平板の外周を全周に渡って部分溶込み溶接した継手部」に関する実験的研究は、ほとんど実施されていないのが現状である。

そこで本研究では、実際の支承で使用される溶接継手を模擬した全周すみ肉溶接した試験体を用いた耐荷性評価試験を実施し、載荷高さの違いが終局耐力や破断性状に及ぼす影響の検討を行った。

2. 耐荷性評価試験

2-1. 試験体

支承接合部での使用実績を考え、試験体継手形状は、すみ肉溶接継手6mmとし、材料はSM490Aとした。平

キーワード 支承、部分溶込み溶接、耐荷性

連絡先 〒104-0031 東京都中央区京橋1丁目1番1号八重洲ダイビル3階 (一社)日本支承協会 TEL03-3272-4476

面形状は□200mm×200mmとした。水平力載荷位置(高さ寸法で50mm, 150mm, 300mm)は、溶接部にかかる曲げ応力とせん断応力の比率(曲げ/せん断)を1.07倍、3.19倍、6.43倍となる3ケースとした。



(a) ケース1 (b) ケース2 (c) ケース3
図1 すみ肉溶接試験体の写真

表1 試験ケース

試験体 タイプ	ケース1	ケース2	ケース3
条件	(□200×65t)	(□200×165t)	(□200×315t)
すみ肉溶接	すみ肉溶接	すみ肉溶接	すみ肉溶接
載荷高さ	50mm	150mm	300mm
応力比率(曲げ/せん断)	1.07	3.19	6.43
試験体数	1体	1体	1体

2-2. 計測

溶接部および□200mmブロック部の挙動を確認することを目的に、試験機の載荷荷重・溶接部の変位をデータロガ(NR-500:キーエンス)にて計測した。変位計セット位置を図2に示す。CDP-25を加力高さの位置と溶接止端高さの位置に、DP-500Fを溶接止端高さの位置にそれぞれ加力方向各2箇所にセットした。

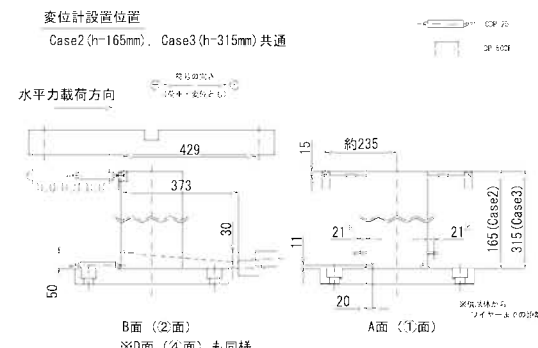


図2 変位計セット位置

2-3. 試験

試験体を二軸試験機にセットし、表1の試験ケースにて載荷試験を行った。試験体セット写真を図3に示す。

す。載荷条件は、鉛直変位を試験体と面板間の隙間を確保した各ケースの水平加力高さ位置で一定に保持し、水平方向はプッシュオーバーで速度一定 0.01mm/sec で試験機能力 (1000kN) の範囲内で溶接部が破断するまで行った。試験は日本铸造株式会社にて行った。

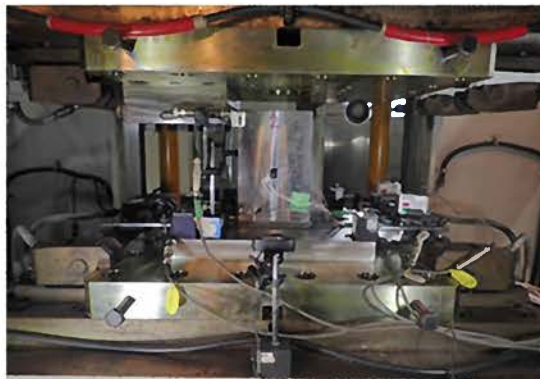


図3 試験体セット写真

2-4. 試験結果

ケース 2 には、試験機能力ほぼ最大の 993.4kN まで載荷をしたが、破断まで至らなかった。ケース 1 は、先行して行ったケース 2 にて、試験機能力限界まで加力を行ったが、破断まで到達しなかったため、今回試験を行わないこととした。ケース 3 は、水平載荷重約 931.2kN まで載荷したところで、ドンと音を立てて破断した。試験後のケース 3 試験体を図 4 に示す。載荷背面側を基点に載荷前面側が持ち上がり、載荷前面側・側面両側溶接脚長の縦面に沿って破断した。



図4 試験後写真

3. 試験結果の検証

3-1. 支承設計で用いる設計式の検証

支承溶接部の設計耐力の計算に一般的に用いられる単鉄筋コンクリートを用いる設計式²⁾を検証する。各試験体の材料の強度は、破断荷重との比較となるため、溶接部材と下部材の材料強度には、SM490A 材のミルシートの引張り強さの最小値を用いる。せん断強度は、引張り強度 $\div \sqrt{3}$ とした。設計で使用する溶接部ののど厚は、形状計測結果より、全周の平均値を用いる。破断想定載

荷水平力は、ケース 1 で 875kN、ケース 2 で 432kN、ケース 3 で 223kN であった。試験結果は、ケース 2 で 993.4kN にて破断せず、ケース 3 で 931.2kN にて破断であった。よって、現行の計算耐力は、実耐力に対して、ケース 2 で約 2.3 倍以上、ケース 3 で約 4.17 倍の余裕があり、十分に安全側の計算方法が採用されていることが確認できた。

3-2. 載荷位置の違いによる検討

溶接近傍位置の荷重-変位曲線を図 5 に示す。最大荷重付近の 900kN 時の変位を比べると、ケース 2 で 0.142mm、ケース 3 で 0.244 mm となり、ケース 3 はケース 2 の約 1.7 倍であった。溶接部にかかる曲げ/せん断比率の高いケース 3 の方が曲げ成分が大きいため、曲げモーメントにより大きな引張力が載荷前面の溶接部に作用したため変形量が大きくなったものと考える。よって、曲げ/せん断の比率が大きいほど水平力に対する耐荷力が低下することが確認できた。

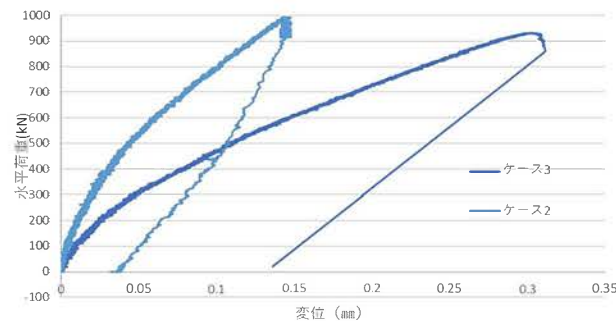


図5 溶接近傍位置の荷重-変位曲線のケース比較

4. まとめ

本試験により得た結果を以下に示す。

- ・全周すみ肉溶接の破壊状態は、載荷背面の溶接部を基点に載荷前面の溶接部が持ち上がるようすみ肉溶接の縦側溶接脚長部に沿って破断する結果が得られた。
- ・破壊時の荷重に着目すると、溶接部の曲げ/せん断比率が 6.43 倍と高いケース 3 において、溶接接合部の計算耐力は実耐力に対して約 4.17 倍の余裕があり、現行の計算耐力は十分に安全側にあることが確認できた。
- ・曲げ/せん断比率の高いケースの方が、曲げモーメントによる引張力が載荷前面の溶接部に作用する影響が大きくなり、水平耐力が小さくなる結果が得られた。

参考文献

- 1)日本道路協会：道路橋示方書・同解説（平成 29 年 11 月）
- 2)日本支承協会・ゴム支承協会：ゴム支承の鋼材部の設計標準（案）（平成 17 年 10 月）